

護岸と防波堤によって囲まれた隅角域の波高分布とWave set upについて

北大工 正員	佐伯 哲
北大工 学生員	○住田 繁
北大工	小野敏行
北大工 正員	尾崎 駿

1)はじめに

昭和47年11月30日から12月1日にかけて、礼文島の香深港においては、低気圧による暴風が継続し、波浪のため防波堤背後地に多大な損害を与えた。この香深港の北防波堤の堤脚部の水深は、通常士0～-0.5メートル程度であり、生起しうる波高はきわめて小さなものとなるはずである。北防波堤の天端高は、約4メートルであり、この防波堤を波が越波するためには、堤体前面にかなりの量の水位上昇があつたと考えられる。低気圧による吸い上げ、潮位、風による吹き寄せ、波の集中なども考慮して、Radiation stressによるかなりの量の水位上昇(Wave set-up)が考えられる。Radiation stressによる平均水位の変化と理論的考察ならびに実験は、これまでいろいろとなされている。Longuet-Higginsらは、斜面上を進行する波では、碎波点より沖側では平均水位の低下(Set-down)を理論的にあらわにし、碎波後の平均水位の上昇(Set-up)は、Bowenがあらかじめ示している。Saville、豊島、佐伯らは理論値と実験値が良く一致することを実験により示している。しかしこれらはいずれも水路中一定の二次元水槽における結果である。通常、防波堤法線と海岸護岸は、90°～120°の角度をなす。我々の実験は、このような隅角域内においてこの平均水位の上昇を実験的に求めたものである。隅角域内における反射、屈折等の影響が顕著で、波高はばらつきが大きく、そのため、波高分布はきわめて複雑となる。しかし、等波峰線図を描くことによりある程度の波高分布を予測することは可能である。隅角域内での水位上昇に関しては、波高分布が複雑なため、波の進行方向に直角な断面をとり、各断面の平均波高を採り、各断面の波高を代表させて議論を進めた。

2)実験装置および測定

実験装置をFig-1に示す。実験は、平面水槽(10.95M×7.35M×0.50M)を使用し、水槽内に角形鋼管、木材で骨組みを作り、耐水ペニヤを張り海底とした。また、海底に垂直にペニヤを立て、海岸護岸防波堤とし、双方とも波の進行方向に対称のかたちとした。波高測定は、抵抗線式波高計を使用し、測点は隅角域内で40cm間隔、汀線近傍では20cm間隔と密に行なった。

Fig-1

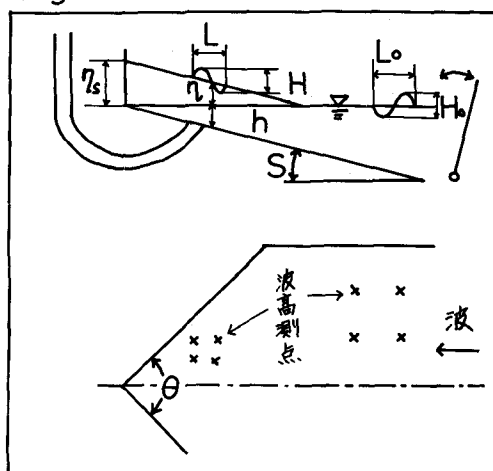
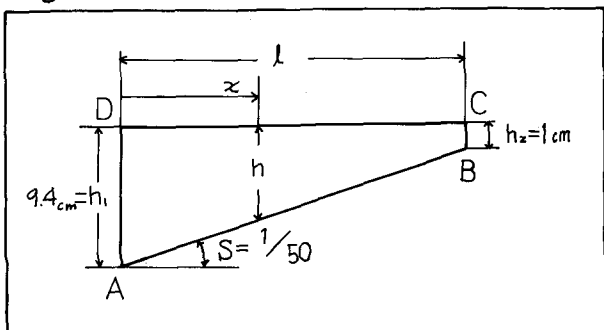


Fig-2



均水位の測定には、瓶(海底)の中心線上に20cm間隔に穴があり、各点からビニールパイプを水槽外に伸ばし鉛直に立て測定を行なう。なお、ビニールパイプの長さを十分にとることにより、ダンピングの効果で、実際の水面変動は数センチであるにもかかわらず、数ミリのオーダーに水位上昇の振動を減少させることができる。冲波波高に関しては、造波板近傍において、反射、屈折等の影響を受けた以前の波高を測定し、3ヶ所の測点の波高を平均し沖波として。

記号を以下に示す

H : 波高, L : 波長, h : 水深, H_0 : 冲波波高, L_0 : 冲波波長, S : 海底勾配, θ : 海岸護岸と防波堤法線との角度, η : 平均水位の上昇量, η_s : 防波堤堤脚部の平均水位の上昇量, H_{aw} : 断面の平均波高, T : 周期

実験は、角度 θ は 90° と 120° の2種類、海底勾配 $S = 1/15, 1/30, 1/50$ の3種類について行なった。周期 $T = 1.64, 1.31, 1.00, 0.86$ 秒の4種類についてそれぞれ2回ずつ測定を行なった。

3) 等波峰線図

Fig-2は中心線をもとめた断面であり、 h_2 は防波堤の堤脚水深、 h_1 は最も沖側の水深である。ABは海底、DCは静水面を示す。O点よりXセンチの位置にある水深を h とするとき長波の波速で近似すると、波速Cは

$$C = \sqrt{g h} \quad (1)$$

$$t = \int_0^x \frac{dx}{C} \quad (2)$$

より

$$h = h_1 - Sx \quad (3)$$

これより

$$t = - \int_{h_1}^h \frac{1}{\sqrt{gh}} \cdot \frac{1}{S} dh$$

したがって

$$h = h_1 - 2t \cdot \frac{\sqrt{gh_1}}{2} + t^2 \left(\frac{\sqrt{g}}{2} \right)^2$$

これより、大約の波の位置Xは、

$$x = - \frac{gS}{4} t^2 + \sqrt{gh_1} t \quad (4)$$

となる。

いま、 $S = 1/50$, $T = 1.00$ 秒, $\theta = 90^\circ$ の場合を考えると、 $g = 980 \text{ cm/sec}^2$, $h_1 = 9.4 \text{ cm}$, $h_2 = 1.0 \text{ cm}$ となり、(4)式にそれらの値を代入し、大約

Fig-3

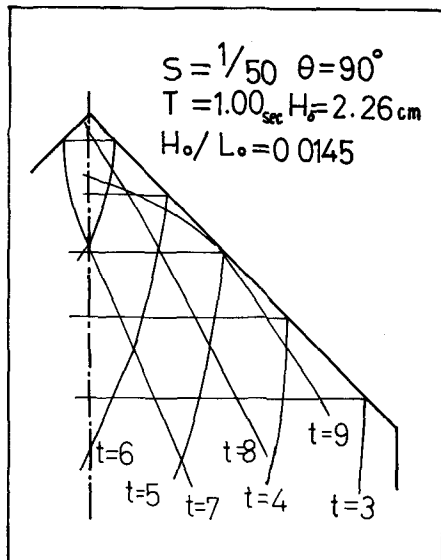
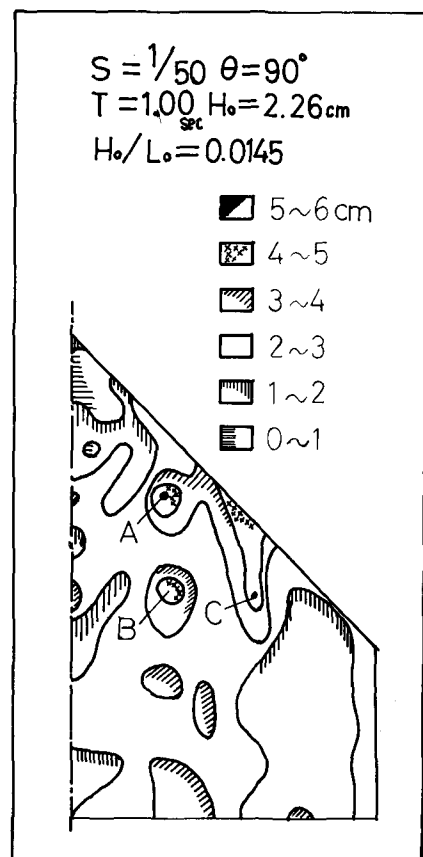


Fig-4



の波の位置を求め、それらの軌跡を結んだものがFig-3の等波峰線図となる。ただし、この場合、 $\theta = 90^\circ$ であるため、反射後の波は進行波と直交し、波速 C は水深 L_0 に関して一定値 $\sqrt{gL_0}$ となる。

4) 波高分布について

隅角域内の波高分布は、さわめて複雑である。Fig-4からあきらかのように、沖波波高と同程度の波高を有する領域がもつとも大きいが、むろん斜行ではあるが沖波波高の2~3倍の波高を有する部分がある。A点、B点、C点がその代表例であるが、Fig-3の等波峰線図を描くことによりある程度の予測が可能である。例えば、A点に關しては、 $t=4$ 秒の進行波と $t=5$ 秒の右側からの反射波、および $t=8$ 秒の左側からの反射波の3波が影響しあい大きな波高が生じるものと考えられる。B点においては、 $t=5$ 秒、 $t=7$ 秒、 $t=3$ 秒の3波が重なりみつた点と考えられる。C点は、 $t=3$ 秒、 $t=4$ 秒、 $t=8$ 秒の波が重なりあい、E点と考えられる。

5) 平均波高について

隅角域内における反射、屈折の影響が大きく、我々の実験における場合は、波の進行方向ばかりでなく、各断面内における波高の値は、ばらつきが大きい。そのため理論的な取り扱いが困難である。そこで、波の進行方向に直角な断面をヒリ、各断面ごと波高を算出し、その断面の波高として代表させ議論を進めた。Fig-4-5からあきらかのように、平均波高の変化は、隅角域外では、水深が深くなるにつれて波高が増大する。これはLinear theoryのShoalingと良く一致する。なお、 H_T は微小振幅波の理論値を用いた。中心線上での碎波点をB.P.で示す。平均波高の変化で最大値を示す点は、反射、屈折する以前の波の碎波点とほぼ一致しているが、現実には必ずしも二つの点で碎波しておりわけではなく、解析のための必要な仮想の碎波点と考へて良い。なお、 $S=1/15$ の実験における、明確な碎波は見られず、反射波の影響がさわめて大きく、反射波と進行波とが干渉しており、中心線上における、重

Fig-5

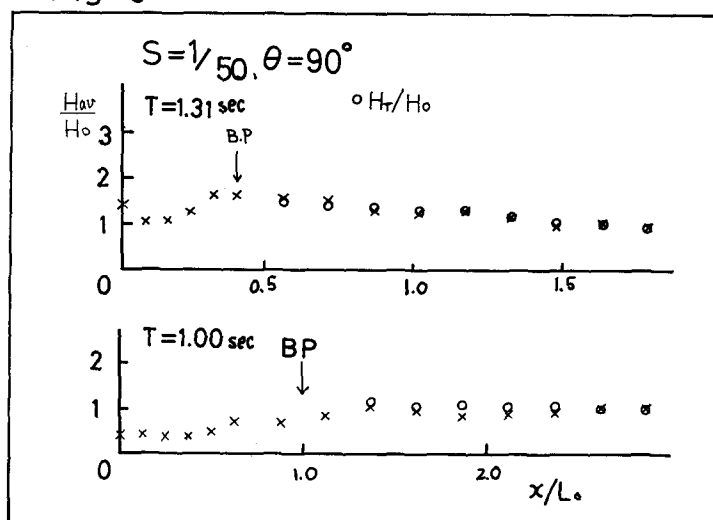


Fig-6-(P)

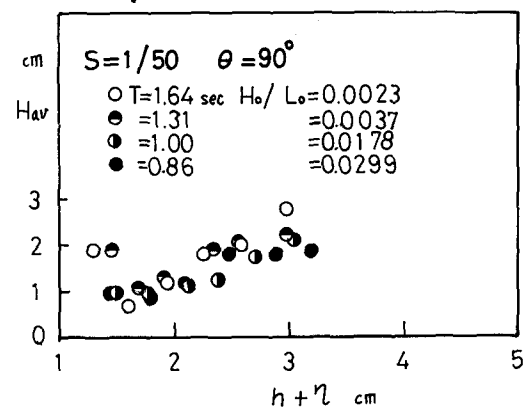
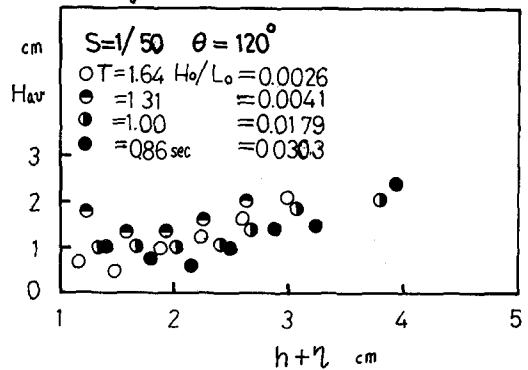


Fig-6-(1)



複波的な碎波が見られた。

6) 平均水位の上昇による碎波

深水波が斜面上を進行する際、波は波長が伸びて短くなり、波形勾配は大きくなり碎波する。しかし、碎波後も波高の減少とともにながら進行をつづける。平均水位の変化と理論的な考察に関しては、二種類の研究、実験がなされており、Longuet-Higginss と Stewart は、Radiation stress と平均水位の差によって生じる圧力差がつりあうことにより、碎波点より沖側では碎波点に近くにつれて平均水位が低下する (Set-down) を理論的にあきらかにした。Saville, 豊島, 佐伯らは、それより異なる水底勾配において、実験値と理論値とが良く一致することを示している。また、碎波後の平均水位の上昇 (Set-up) については、Bowen が Longuet-Higginss の理論を応用して式を導いた。

まず、碎波後の波高の変化を次式のように仮定する。

$$H = \gamma(h + \eta) \quad (5)$$

ここで、 h : 静止水深、 η : Radiation stress による静水面より平均水面までの Set-up の量、 H : 静止水深 h の点の波高、 γ : 係数である。

Radiation stress と圧力差とがつりあうことより平均水面が勾配を有し、Set-up の現象が生じるから次式を得る。

$$\frac{d\eta}{dx} = -K \frac{dh}{dx} \quad (6)$$

ただし、 K は次式で示される。

$$K = \frac{1}{1 + \frac{8}{3\gamma^2}} \quad (7)$$

我々の実験においては、碎波後の平均波高 H_{av} と平均水深 ($h + \eta$) の関係は、可換近傍との違い L_{in} による関係が見られた。 (5) 式の仮定を満足している。

これを Fig. 6-(T) へ (I) に示す。

平均水位の上昇量 η と静止水深 h の関係を Fig. 7-0.4 (T) ～ (I) に示す。実験諸元は Fig. 6-(T) 0.2 ～ (I) と同じである。これより、 K の値は、同一の 0.4 であれば、それが小なる程、 K は大となり、沖波波形勾配 (H_0 / L_0) には無関係である。このことは、水路

Fig. 6-(T)

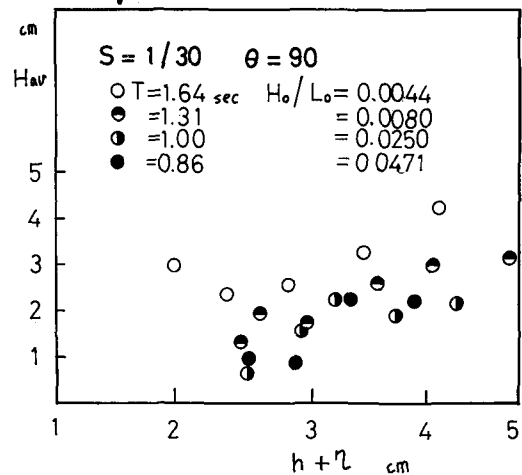


Fig. 6-(I)

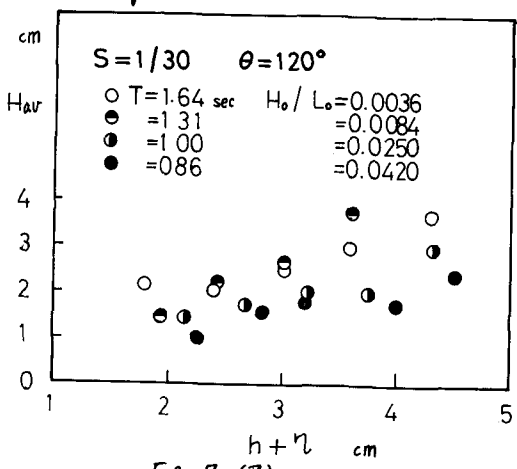


Fig. 7-(T)

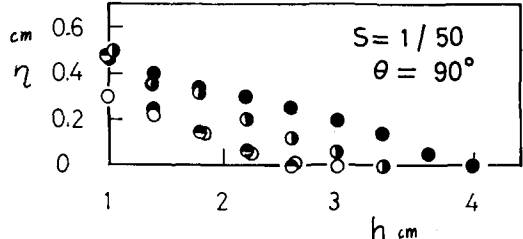
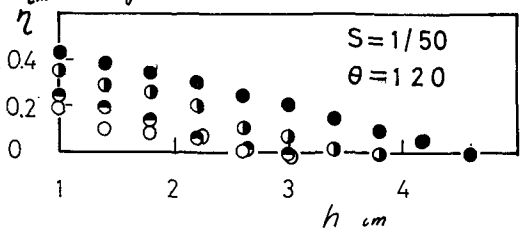


Fig. 7-(I)



中一定の二次元水槽 ($\theta = 180^\circ$) の場合と良く一致する。同一の日で η_s が θ が大きくなる程、 K の値も大きくなる。 K の値について $\theta = 120^\circ$, $\theta = 90^\circ$, 0° の場合、 $S = 1/50$ で、 $K = 0.13$, $\eta_s = 1/152^\circ$, $\delta = 1/302^\circ$, $K = 0.15$, $\eta_s = 1/152^\circ$, $\delta = 1/302^\circ$, $K = 0.21$ となり。 $\theta = 90^\circ$ の場合は、 $S = 1/50$ で、 $K = 0.18$, $\delta = 1/302^\circ$, $K = 0.19$, $\delta = 1/152^\circ$, $K = 0.25$ との結果を得た。 $Fig - 9$ は、 K と δ の関係であるが、各日に関する linear な関係が見らわれる。これも、 $\theta = 180^\circ$ の場合と良く一致する。直線は二次元水槽の場合であるが、佐伯らの実験の結果では次の関係が示されてる。

$$K = 3.85S + 0.015$$

REL

$$\frac{1}{90} \leq S \leq \frac{1}{12}$$

$$0.006 \leq H_0/L_0 \leq 0.05$$

である。

$\theta = 180^\circ$ の場合と比較して、 $\theta = 120^\circ$, 90° とも勾配がなだらかであるが、これは、反射の影響によるものであると思われる。

$Fig - 7$ より得た K と、 $Fig - 6$ より得た δ の関係を $Fig - 10$ に示す。これより、隅角減を有する水面におけるは、(1) 式を満足しない。 $Fig - 6$ より得た δ はより大きな K の値を与える。7) 防波堤取付部における水位上昇

平均水面の勾配を示す式(6)を積分し、 $h = 0$ の時、 $\eta = \eta_s$ とすると、

$$\eta = -Kh + \eta_s \quad (8)$$

である。この式より、 η_s が求めれば、

水深 h の水位上昇量 η が求まる。 (η_s/H_0) と (H_0/L_0) の関係を $Fig - 11$ に示す。これより、 (η_s/H_0) の値は、ほぼ一定値をとり (H_0/L_0) には無関係である。 (η_s/H_0) の値は、 $S = 1/50$ では、 $\theta = 90^\circ$ で、 $(\eta_s/H_0) = 0.23$, $\theta = 120^\circ$ で $(\eta_s/H_0) = 0.20$, $S = 1/30$ では、 $\theta = 90^\circ$ で、 $(\eta_s/H_0) = 0.25$, $\theta = 120^\circ$ で

Fig - 7-(ウ)

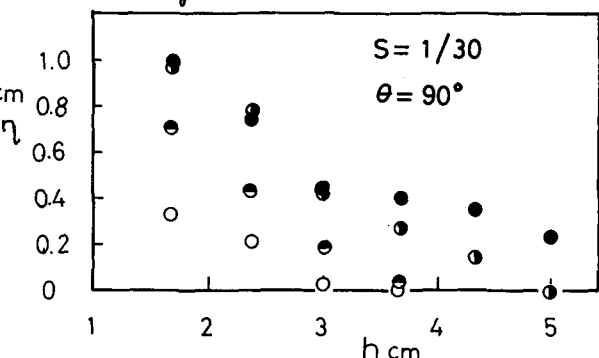


Fig - 7-(イ)

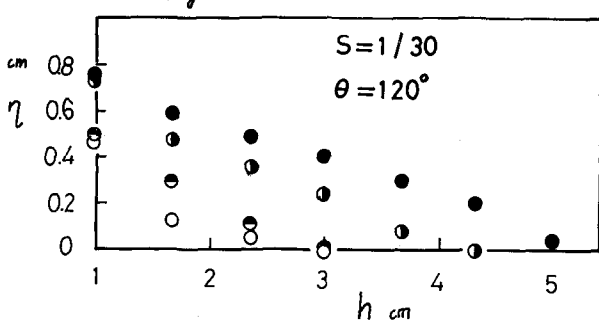


Fig - 8

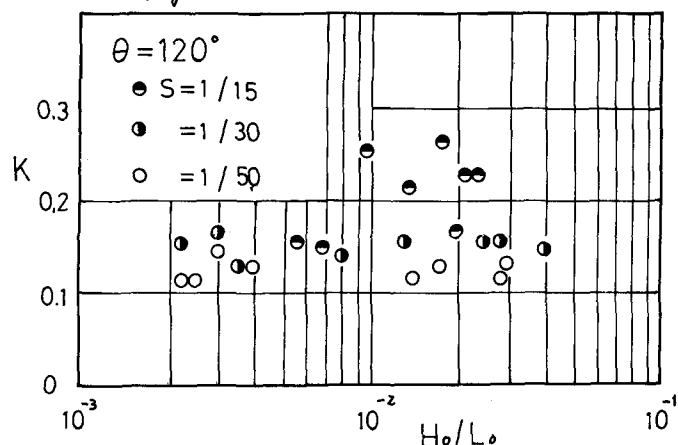
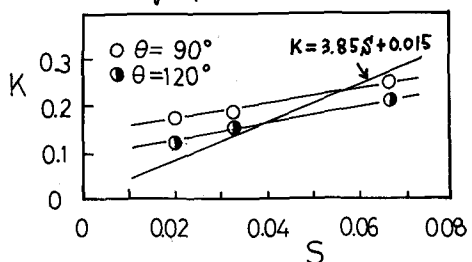


Fig - 9



$(\eta_s / H_0) = 0.22, S = 1/15$ では、 $\theta = 90^\circ$
 $\bar{z}(\eta_s / H_0) = 0.65, \theta = 120^\circ$ では (η_s / H_0)
 = 0.40 となる。これら $F_1 g/12$ に示す。これらより同一
 の θ の場合、 S が大きくなる程、 (η_s / H_0) も大きくなり、同
 一の S の場合、 θ が小さくなる程 (η_s / H_0) は大きくなる。以
 上の結果より、沖波の波長 L_0 と波高 H_0 ($L_0 = gT^2/2\pi$)
 が与えられれば、 η_s が求まる。また、 S と θ が与えられれば、 K が実験値より得られるので、平均水位の上昇量 \bar{z} の式
 が求まる。

8) 現地への適用

香取港において、被害当時の冲浪は、SMB法により求められて11.3m、 $H_0 = 6.5\text{m}$ 、周期 $T_0 = 10\text{秒}$ である。

また、香深港の北防波堤と海岸護岸とのなす角は、 $\theta \approx 120^\circ$

である。同港の海面勾配は、範囲のと

り方により異なるが、 $S = 1 / 30 \sim 1 / 50$ である。滑形勾配 (H_0 / L_0) と δ と α が与えられていて、 K と η_K を決定することができる。

有効差の海底勾配は $1 / 30$, $\theta \approx 120^\circ$ とすると, $Frig - 9.81 K = 0.15$ が得られる。又 $(H_0 / L_0) = 0.0416$, $Frig - 11$ より, $7s / H_0 = 0.23$. 以上より,

$$T_s = 0.23 \times 6.5 = 1.50 \text{ M}$$

実験値から香界差北防波堤の取付部における波浪による平均水位の上昇量は、1.50Mとなる。現地の防波堤取付部の水底は、工事基準面とほぼ一致しているので、最高時の潮位、二山までのべてきのWave set-up：低気圧による吸引みがく、風による吹き寄せ、波の集中等を考慮すれば、天端高+4.0Mの防波堤を潮に越えさせることになる。

$$z = -0.15h + 1.50 \quad (\text{单位: M})$$

なお、 h はその点の水深である。

我々の実験の適用条件として、汀線近傍における水位は、±0 M へ沖波波高の 2~3 倍である。本実験は、防波堤取付部が隅角成形にある場合の水位上昇の目安、手段、防波堤天端高のみ程度の基礎を与えるものと思う。

参考文献

- 1) Wave 'Set-Down' and 'Set-up' A.J. Bowen, et.al Journal of Geophysical Res. Vol 73
2) Radiation stress in water waves. M.J. Longuet-Higgins and R.W. Stewart. Deep-Sea Res 1964
Vol. 11

3) 破壊後の液の変形に関する研究 佐伯浩、佐々木幹夫 第20回海岸工学講演論文集

4) " " " 21回 "

Fig-10

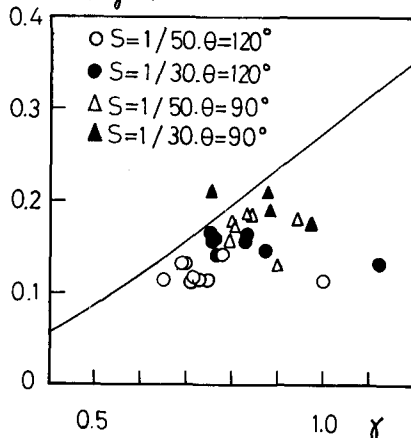


Fig - 11

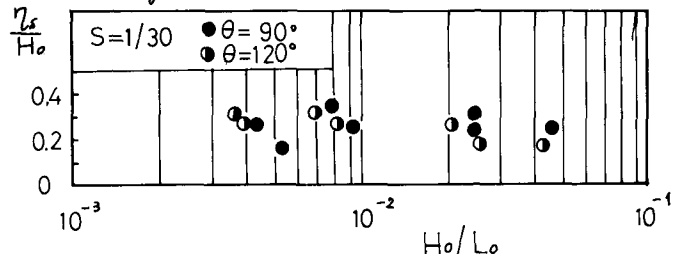


Fig - 12

